

# 心脏骤停后急性肾损伤风险预测模型的构建

林连根, 姜盈盈, 叶渊文, 陈玲珑, 孙聪聪, 陈新国

**【摘要】目的** 探讨心脏骤停相关急性肾损伤(CA-AKI)的预测因素,并构建风险预测模型,以期指导临床决策。**方法** 回顾分析2018年1月至2022年12月期间温州市人民医院收治的339例心脏骤停(CA)后自主循环恢复患者的临床资料。通过多因素Logistic分析确定CA-AKI的独立预测因素,并构建预测模型,采用受试者工作特征(ROC)曲线、校准曲线和决策曲线分析(DCA)评估构建的列线模型的预测性能。**结果** 339例CA患者中发生AKI 150例(44.2%)。多因素Logistic分析模型显示,慢性肾脏病(CKD)、休克、心率和清蛋白是CA-AKI的独立预测因素(均 $P < 0.05$ )。由此构建的列线图的曲线下面积(AUC)为0.807,校正曲线接近于理想的对角线,DCA表明该模型的具有良好临床实用性。**结论** 由CKD、休克、心率和白蛋白构成的预测模型能够较好地预测CA-AKI发生风险,有助于指导临床诊疗。

**【关键词】** 心脏骤停;急性肾损伤;预测模型

doi:10.3969/j.issn.1671-0800.2024.06.013

**【中图分类号】** R541.7<sup>8</sup>;R692 **【文献标志码】** A **【文章编号】** 1671-0800(2024)06-0751-04

心脏骤停(cardiac arrest, CA)具有突发性、存活率低、预后差等特征,是心血管死亡的主要原因<sup>[1]</sup>。在我国,每10万人中就有40.7人发生CA,其中仅4.0%的患者能自主循环恢复(return of spontaneous circulation, ROSC),且院外发生CA患者出院后生存率不到1%<sup>[2]</sup>。有荟萃分析<sup>[3]</sup>表明心脏骤停相关急性肾损伤(cardiac arrest-associated acute kidney injury, CA-AKI)是CA患者早期和远期预后的主要危险因素。CA-AKI患者具有病情重、器官衰竭比例高、需要更多的升压药和呼吸机维持、高死亡率及住院时间延长等特点<sup>[4,5]</sup>。早期阶段识别CA-AKI至关重要,一些研究已经建立了识别危重患者急性肾损伤(acute kidney injury, AKI)的风险预测模型,但每种模型都有其局限性,不能有效识别和区分特定疾病<sup>[6-7]</sup>。基于此,本研究构建CA-AKI的风险预测模型,并对其验证,现报道如下。

## 1 对象与方法

**1.1 研究对象** 回顾性收集2018年1月至2022年12月期间就诊于温州市人民医院急诊科后收住重症监护病房(ICU)的CA患者339例,根据是否发生

AKI将患者分为AKI组和非AKI组。纳入标准:(1)年龄 $\geq 18$ 岁;(2)诊断为心脏骤停,经抢救ROSC入住ICU;(3)临床资料完整。排除标准:(1)数据缺失;(2)住院时间 $< 24$ h;(3)需要血液透析或肾小球滤过率低于 $15 \text{ ml} \cdot \text{min}^{-1} \cdot 1.73 \text{ m}^{-2}$ 的终末期肾病患者;(4)创伤性CA;(5)疾病终末期引起CA,如脑疝形成、恶性肿瘤等;(6)孕期或哺乳期患者。本研究获得温州市人民医院伦理委员会批准(伦理号:KY-2023-173),豁免签署知情同意书。

**1.2 观察指标** 收集患者入院时的基本人口学特征与临床资料,包括年龄、性别、高血压、糖尿病、心脏病、慢性肾脏病(CKD)、可除颤心律、是否院外CA、是否心源性猝死、ROSC时间、平均动脉压(MAP)、心率、休克、乳酸、白蛋白及肌酐。生命体征的取值标准为入院20min内多次测量后取中间值,血液标本为入院后第1次的血液指标测量值。

**1.3 AKI判定** 根据改善全球肾脏预后组织(KDIGO)标准<sup>[8]</sup>,符合以下任意一项即可诊断AKI:(1)48h内血肌酐增高 $\geq 26.5 \mu\text{mol/L}$ ;(2)血肌酐增高至 $\geq$ 基础值的1.5倍,且是已知或经推断发生在7d之内;(3)持续6h尿量 $< 0.5 \text{ ml} \cdot \text{kg}^{-1} \cdot \text{h}^{-1}$ 。

**1.4 统计方法** 采用SPSS 25.0软件及R语言(3.3.2)进行统计分析。计数资料以例数和百分比表示,组间比较采用 $\chi^2$ 检验;影响因素分析采用多因素

基金项目:浙江省医药卫生科技计划项目(2024KY1628)

作者单位:325000浙江省温州,温州市人民医院

通信作者:陈新国,Email:1125987914@qq.com

Logistic 回归分析,并构建预测 CA-AKI 的列线模型;绘制受试者工作特征 (ROC) 曲线,计算曲线下面积 (AUC) 值;采用 Hosmer-Lemeshow 拟合优度检验方法,绘制校准曲线评估模型预测的概率与实际概率的之间一致性;通过决策曲线分析法 (DCA) 评价临床适用性,模型曲线越远离 X、Y 轴,其临床的实用性越强。 $P < 0.05$  表示差异有统计学意义。

## 2 结果

2.1 临床资料比较 发生 AKI 150 例,占 44.24%。AKI 组与非 AKI 组 CKD、肌酐、MAP、心率、休克、乳酸、白蛋白差异均有统计学意义(均  $P < 0.05$ ),见表 1。

2.2 CA 患者发生 AKI 的影响因素分析 将 CKD、肌酐、MAP、心率、休克、乳酸、白蛋白纳入多因素 Logistic 回归分析,发现 CKD、白蛋白、休克及心率是 CA-AKI 的独立预测因素(均  $P < 0.05$ ),见表 2。

2.3 预测模型的建立 通过多因素 Logistic 回归分析得出的 4 个独立预测因素,绘制 CA-AKI 的个体化列线模型,见图 1。

2.4 预测模型的评价 绘制 CA-AKI 风险预测模型的 ROC 曲线,发现 AUC 为 0.807,具有较好的区分度,见图 2A。通过 Hosmer-Lemeshow 拟合优度检验发现校正曲线接近于理想的对角线( $\chi^2=6.85, P > 0.05$ ),具有良好的拟合度,见图 2B。DCA 曲线表明列线图在几乎所有阈值概率中都贡献了净收益,尤其是 7%~75% 的范围内,体现出列线图有较为理想的临床实用价值,见图 2C。

## 3 讨论

AKI 是发生 CA 后常见的并发症,约占 44.6%,与患者临床不良预后相关<sup>[9]</sup>。某些预防措施,如优化血流动力学、限制性液体管理和血管活性药物使用,已被证实能有效减少 CA-AKI 发生<sup>[9-10]</sup>。强化预防措施使 CA-AKI 高危患者受益,这也凸显及时识别 CA-AKI 的重要性。目前已报道大量 CA-AKI 风险因素,包括高龄、男性、CKD、休克、心率、乳酸、MAP 及院前指标等。然而,由于可重复性信息不足、样本量较小和单个因素预测效能差,导致部分研究结论及外部验证无法与真实世界相结合。

近年来,学者们建立多种危重症相关 AKI 的预

表 1 AKI 组与非 AKI 组 CA 患者人口学特征与临床资料比较 例 (%)

| 项目           | AKI 组<br>(n=150) | 非 AKI 组<br>(n=189) | $\chi^2$ 值 | P 值    |
|--------------|------------------|--------------------|------------|--------|
| 年龄(岁)        |                  |                    | 0.17       | > 0.05 |
| ≤60          | 66(44.00)        | 79(41.80)          |            |        |
| > 60         | 84(56.00)        | 110(58.20)         |            |        |
| 性别           |                  |                    | 0.08       | > 0.05 |
| 女性           | 51(34.00)        | 67(35.45)          |            |        |
| 男性           | 99(66.00)        | 122(64.55)         |            |        |
| 高血压          |                  |                    | 1.87       | > 0.05 |
| 无            | 81(54.00)        | 116(61.38)         |            |        |
| 有            | 69(46.00)        | 73(38.62)          |            |        |
| 糖尿病          |                  |                    | 1.94       | > 0.05 |
| 无            | 112(74.67)       | 153(80.95)         |            |        |
| 有            | 38(25.33)        | 36(19.05)          |            |        |
| 心脏病          |                  |                    | 0.58       | > 0.05 |
| 无            | 113(75.33)       | 149(78.84)         |            |        |
| 有            | 37(24.67)        | 40(21.16)          |            |        |
| CKD          |                  |                    | 27.46      | < 0.05 |
| 无            | 98(65.33)        | 168(88.89)         |            |        |
| 有            | 52(34.67)        | 21(11.11)          |            |        |
| 可除颤心律        |                  |                    | 0.11       | > 0.05 |
| 否            | 125(83.33)       | 160(84.66)         |            |        |
| 是            | 25(16.67)        | 29(15.34)          |            |        |
| 院外 CA        |                  |                    | 0.28       | > 0.05 |
| 否            | 59(39.33)        | 69(36.51)          |            |        |
| 是            | 91(60.67)        | 120(63.49)         |            |        |
| 心源性猝死        |                  |                    | 0.06       | > 0.05 |
| 否            | 119(79.33)       | 152(80.42)         |            |        |
| 是            | 31(20.67)        | 37(19.58)          |            |        |
| ROSC 时间(min) |                  |                    | 0.45       | > 0.05 |
| ≤30          | 112(74.67)       | 147(77.78)         |            |        |
| > 30         | 38(25.33)        | 42(22.22)          |            |        |
| MAP(mmHg)    |                  |                    | 12.59      | < 0.05 |
| ≤84.5        | 91(60.67)        | 78(41.27)          |            |        |
| > 84.5       | 59(39.33)        | 111(58.73)         |            |        |
| 心率(次/min)    |                  |                    | 29.50      | < 0.05 |
| ≤100         | 46(30.67)        | 114(60.32)         |            |        |
| > 100        | 104(69.33)       | 75(39.68)          |            |        |
| 休克           |                  |                    | 31.76      | < 0.05 |
| 无            | 20(13.33)        | 78(41.27)          |            |        |
| 有            | 130(86.67)       | 111(58.73)         |            |        |
| 乳酸(mmol/L)   |                  |                    | 15.71      | < 0.05 |
| ≤10.45       | 81(54.00)        | 141(74.60)         |            |        |
| > 10.45      | 69(46.00)        | 48(25.40)          |            |        |
| 白蛋白(g/L)     |                  |                    | 39.87      | < 0.05 |
| ≤30.2        | 88(58.67)        | 47(24.87)          |            |        |
| > 30.2       | 62(41.33)        | 142(75.13)         |            |        |
| 肌酐(μmol/L)   |                  |                    | 24.62      | < 0.05 |
| ≤97.5        | 57(38.00)        | 123(65.08)         |            |        |
| > 97.5       | 93(62.00)        | 66(34.92)          |            |        |

注:AKI 为急性肾损伤,CA 为心脏骤停,CKD 为慢性肾脏病,ROSC 为自主循环恢复,MAP 为平均动脉压,1 mmHg≈0.133 kPa

表2 CA患者发生AKI的多因素Logistic回归分析

| 变量  | $\beta$ 值 | SE值  | Wald $\chi^2$ 值 | P值     | OR值(95%CI)        |
|-----|-----------|------|-----------------|--------|-------------------|
| CKD | 1.23      | 0.39 | 9.85            | < 0.05 | 3.42(1.59 ~ 7.38) |
| 肌酐  | 0.51      | 0.31 | 2.82            | > 0.05 | 1.67(0.92 ~ 3.03) |
| 白蛋白 | -1.26     | 0.28 | 20.45           | < 0.05 | 0.28(0.16 ~ 0.49) |
| MAP | -0.34     | 0.27 | 1.52            | > 0.05 | 0.72(0.42 ~ 1.22) |
| 休克  | 0.78      | 0.33 | 5.33            | < 0.05 | 2.18(1.14 ~ 4.18) |
| 心率  | 1.51      | 0.29 | 26.85           | < 0.05 | 4.51(2.55 ~ 7.98) |
| 乳酸  | 0.33      | 0.28 | 1.40            | > 0.05 | 1.40(0.80 ~ 2.42) |

注:AKI为急性肾损伤,CA为心脏骤停,CKD为慢性肾脏病,MAP为平均动脉压

测模型,但未针对特定疾病进行有效鉴别,存在一定局限性<sup>[6-7]</sup>。本研究针对CA-AKI患者制定预测模型,确定并纳入4个预测因素,即CKD、心率、休克和白蛋白。CKD是AKI的风险因素,AKI也是CKD发展的诱因<sup>[11]</sup>。本研究结果发现AKI组中CKD患者比例明显高于非AKI组(34.67% vs 11.11%),这一现象可归因于器官缺血再灌注损伤的病理生理机制<sup>[12]</sup>。

心率和休克是已被证实的CA-AKI危险因素。Grand等<sup>[13]</sup>发现患者心率增快与CA-AKI发生率、神经系统预后不良及高死亡率相关。本研究也得到类似结论,即心率>100次/min组CA-AKI发生风险是心率 $\leq$ 100次/min组的4.51倍。在血流动力学稳定的CA患者中AKI发生率<10%<sup>[14]</sup>。本研究AKI组中无休克患者只占13.33%,而AKI组合并休克的患者远高于非AKI组(86.67% vs 58.73%),且与CA-AKI独立相关。根据最新的心肺复苏指南,复苏后血流动力学优化被推荐为CA后护理的关键要素,以促进神经系统的良好恢复<sup>[15]</sup>。精细化的血压管理和抗休克治疗是预防CA-AKI的关键。

多项研究表明<sup>[16-18]</sup>,白蛋白水平升高与AKI的低发生率相关;然而,目前缺乏白蛋白与CA-AKI相

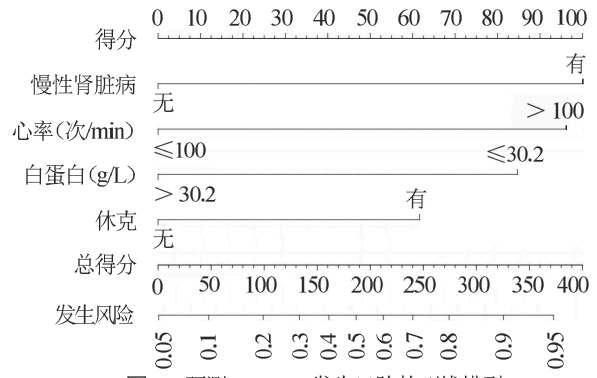


图1 预测CA-AKI发生风险的列线图

关性报道。本研究显示,白蛋白>30.2 g/L是CA-AKI发生的保护因素。当机体缺血再灌注后,交感神经兴奋会加速组织的分解和代谢,从而增加氧需求。细胞内线粒体、NADPH氧化酶和NOS等激活产生的活性氧,直接破坏胞内脂类和蛋白质,消耗三磷酸腺苷和营养物质<sup>[19]</sup>。随后炎症介质释放及白细胞聚集加剧内皮细胞和肾小管细胞损伤,并通过参与TGF- $\beta$ 和Wnt信号通路导致蛋白流失<sup>[20]</sup>。

本研究存在一定局限性。首先,作为单中心回顾性研究,本身受到选择偏倚的影响。其次,外部验证的缺失限制预测模型的普适性,需通过外部验证来提高其通用性。

综上所述,CKD、心率、休克和白蛋白能够独立预测CA-AKI发生风险。由此预测的模型能够提高预测CA-AKI的准确性,对临床具有较好的指导作用。

利益冲突 所有作者声明无利益冲突

作者贡献声明 林连根、姜盈盈:数据收集、论文撰写;林连根、叶渊文、陈玲瓏、孙聪聪:数据整理、统计学分析;陈新国:研究指导、论文修改;林连根、陈新国:经费支持

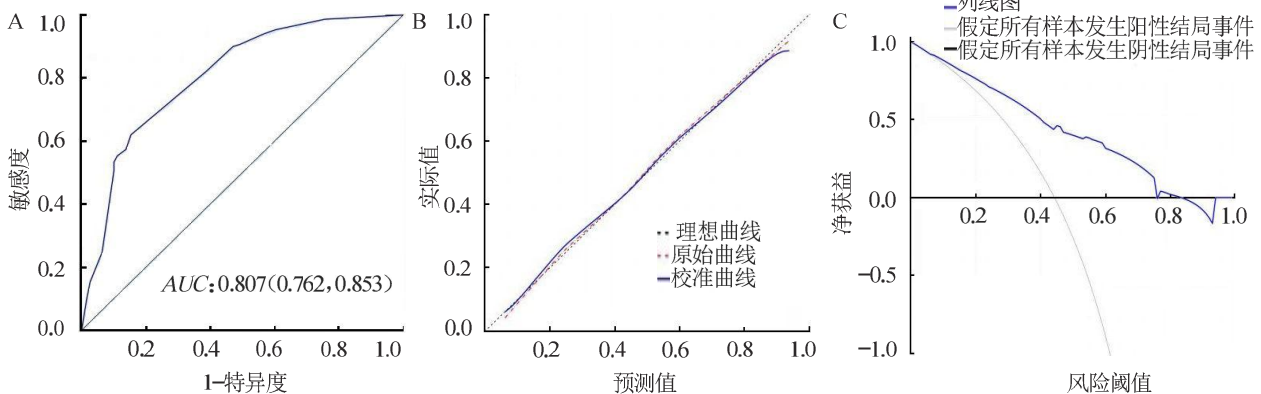


图2 CA-AKI列线图模型的ROC曲线(A)、校准曲线(B)和DCA曲线(C)

## 参 考 文 献

- [1] HOU L, WANG Y, WANG W. Prevention and control of cardiac arrest in healthy China[J]. *China CDC Wkly*, 2021, 3(14): 304-307.
- [2] 中华医学会急诊医学分会复苏学组, 中国医药教育协会急诊专业委员会, 成人心脏骤停后综合征诊断和治疗中国急诊专家共识组. 成人心脏骤停后综合征诊断和治疗中国急诊专家共识[J]. *中华急诊医学杂志*, 2021, 30(7): 799-808.
- [3] PRASITLUMKUM N, CHEUNG PASITPORN W, SATO R, et al. Acute kidney injury and cardiac arrest in the modern era: an updated systematic review and meta-analysis[J]. *Hosp Pract*, 2021, 49(4): 280-291.
- [4] RUNDGREN M, ULLEN S, MORGAN M P G, et al. Renal function after out-of-hospital cardiac arrest: the influence of temperature management and coronary angiography, a post hoc study of the target temperature management trial[J]. *Crit Care*, 2019, 23(1): 163.
- [5] TUJJAR O, MINEO G, DELL'ANNA A, et al. Acute kidney injury after cardiac arrest[J]. *Crit Care*, 2015, 19: 169.
- [6] MALHOTRA R, KASHANI K B, MACEDO E, et al. A risk prediction score for acute kidney injury in the intensive care unit[J]. *Nephrol Dial Transplant*, 2017, 32(5): 814-822.
- [7] WANG Q, TANG Y, ZHOU J J, et al. A prospective study of acute kidney injury in the intensive care unit: Development and validation of a risk prediction model[J]. *J Transl Med*, 2019, 17(1): 359.
- [8] KHWAJA A. KDIGO clinical practice guidelines for acute kidney injury[J]. *Nephron Clin Pract*, 2012, 120(4): c179-c184.
- [9] JANSSENS G N, DAEMEN J, LEMKES J S, et al. The influence of timing of coronary angiography on acute kidney injury in out-of-hospital cardiac arrest patients: A retrospective cohort study[J]. *Ann Intensive Care*, 2022, 12(1): 12.
- [10] DUPONT V, BONNET-LEBRUN A S, BOILEVE A, et al. Impact of early mean arterial pressure level on severe acute kidney injury occurrence after out-of-hospital cardiac arrest[J]. *Ann Intensive Care*, 2022, 12(1): 69.
- [11] JAMME M, AIT HAMOU Z, BEN HADJ SALEM O, et al. Long term renal recovery in survivors after OHCA[J]. *Resuscitation*, 2019, 141: 144-150.
- [12] JOU C, SHAH R, FIGUEROA A, et al. The role of inflammatory cytokines in cardiac arrest[J]. *J Intensive Care Med*, 2020, 35(3): 219-224.
- [13] GRAND J, BRO-JEPPESEN J, HASSAGER C, et al. Cardiac output during targeted temperature management and renal function after out-of-hospital cardiac arrest[J]. *J Crit Care*, 2019, 54: 65-73.
- [14] CHUA H R, GLASSFORD N, BELLOMO R. Acute kidney injury after cardiac arrest[J]. *Resuscitation*, 2012, 83(6): 721-727.
- [15] PANCHAL A R, BERG K M, CABAAS J G, et al. 2019 American heart association focused update on systems of care: Dispatcher-assisted cardiopulmonary resuscitation and cardiac arrest centers: An update to the American heart association guidelines for cardiopulmonary resuscitation and emergency cardiovascular care[J]. *Circulation*, 2019, 140(24): e895-e903.
- [16] KRISHER L, BUTLER-DAWSON J, SCHLOSSER K, et al. Body composition, Anemia, and kidney function among Guatemalan sugarcane workers[J]. *Nutrients*, 2021, 13(11): 3928.
- [17] FUL, FEI J, XU S, et al. Liver dysfunction and its association with the risk of death in COVID-19 patients: A prospective cohort study[J]. *J Clin Transl Hepatol*, 2020, 8(3): 246-254.
- [18] HUANG J F, CHENG A G, KUMAR R, et al. Hypoalbuminemia predicts the outcome of COVID-19 independent of age and comorbidity[J]. *J Med Virol*, 2020, 92(10): 2152-2158.
- [19] WU M Y, YIANG G T, LIAO W T, et al. Current mechanistic concepts in ischemia and reperfusion injury[J]. *Cell Physiol Biochem*, 2018, 46(4): 1650-1667.
- [20] MIYAZAKI Y, ICHINOSE F. Nitric oxide in post-cardiac arrest syndrome[J]. *J Cardiovasc Pharmacol*, 2020, 75(6): 508-515.

收稿日期: 2024-02-26

(本文编辑: 孙海儿)